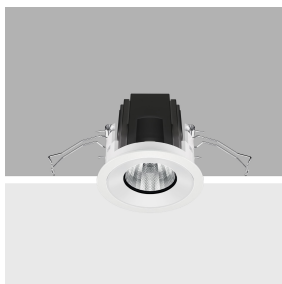


Ultimo aggiornamento delle informazioni: Maggio 2025

Configurazione di prodotto: Q806.01

Q806.01: Incasso rotondo fisso - LED - wide flood - Bianco



Codice prodotto

Q806.01: Incasso rotondo fisso - LED - wide flood - Bianco

Descrizione tecnica

Incasso rotondo con cornice di battuta. Versione Fissa. Posizione arretrata del LED per minimizzare l'abbagliamento. Il corpo principale in alluminio pressofuso include una superficie radiante che garantisce un'ottimale dissipazione del calore. Riflettore ad alta definizione in materiale termoplastico metallizzato - ottica wide flood. Struttura con cornice esterna di battuta in alluminio pressofuso, rifinita con finitura unica bianca. Anello interno in materiale termoplastico disponibile in diverse finiture verniciate o metallizzate. Vetro di protezione incluso. L'assemblaggio semplice e veloce non richiede utensili. LED 2700K ad elevato indice di resa cromatica. L'unità di alimentazione è disponibile con codifica separata.

Installazione

Ad incasso sul controsoffitto tramite molle in filo di acciaio anti-caduta - spessore minimo del controsoffitto 1 mm - foro di preparazione Ø 75 mm

Colore

Bianco (01)

Peso (Kg)

0.23

Montaggio

incasso a parete|incasso a soffitto

Cablaggio

Alimentatori a corrente costante disponibili con codifica separata: ON-OFF / dimmerabile 1-10V / dimmerabile DALI / dimmerabile a taglio di fase - l'incasso è fornito con cavo e connettore rapido da collegare al connettore in dotazione sull'alimentatore.

Note

Disponibile un'ampia gamma di accessori decorativi e diffusori

Soddisfa EN60598-1 e relative note



Dati tecnici

| | | | |
|--|-------|------------------------------------|---------------------------------|
| Im di sistema: | 1004 | CRI (minimo): | 90 |
| W di sistema: | 10 | Temperatura colore [K]: | 2700 |
| Im di sorgente: | 1240 | MacAdam Step: | 2 |
| W di sorgente: | 10 | Life Time LED 1: | > 50,000h - L90 - B10 (Ta 25°C) |
| Efficienza luminosa (lm/W, dati di sistema): | 100.4 | Codice lampada: | LED |
| Im in modalità emergenza: | - | Numero di lampade per vano ottico: | 1 |
| Flusso totale emesso a 90° o superiore [Lm]: | 0 | Codice ZVEI: | LED |
| Light Output Ratio (L.O.R.) [%]: | 81 | Numero di vani ottici: | 1 |
| Angolo di apertura [°]: | 56° | Corrente LED [mA]: | 300 |

Polare

| | | CIE nL 0.81 98-100-100-100-81 UGR 16.8-16.8 DIN A.61 UTE 0.81A+0.00T F*1=983 F*1+F*2=998 F*1+F*2+F*3=1000 CIBSE LG3 L<1500 cd/m² at 65° UGR<19 L<1500 cd/mq @65° | | Lux | | | |
|---|-----|---|------------------|------------|--|--|--|
| h | d | Em | E _{max} | | | | |
| 1 | 1.1 | 1025 | 1312 | | | | |
| 2 | 2.1 | 256 | 328 | | | | |
| 3 | 3.2 | 114 | 146 | | | | |
| 4 | 4.3 | 64 | 82 | | | | |

Coefficienti di utilizzazione

| R | 77 | 75 | 73 | 71 | 55 | 53 | 33 | 00 | DRR |
|------|----|----|----|----|----|----|----|----|-----|
| K0.8 | 73 | 69 | 66 | 64 | 68 | 66 | 65 | 63 | 77 |
| 1.0 | 76 | 72 | 70 | 68 | 72 | 69 | 69 | 66 | 82 |
| 1.5 | 80 | 77 | 75 | 73 | 76 | 74 | 74 | 71 | 88 |
| 2.0 | 82 | 80 | 79 | 78 | 79 | 78 | 77 | 75 | 92 |
| 2.5 | 84 | 82 | 81 | 80 | 81 | 80 | 79 | 77 | 95 |
| 3.0 | 85 | 84 | 83 | 82 | 83 | 82 | 81 | 79 | 97 |
| 4.0 | 86 | 85 | 85 | 84 | 84 | 83 | 82 | 80 | 99 |
| 5.0 | 86 | 86 | 85 | 85 | 85 | 84 | 83 | 81 | 100 |

Curva limite di luminanza

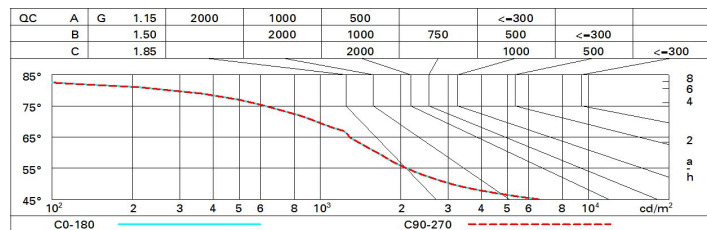


Diagramma UGR

| Corrected UGR values (at 1240 lm bare lamp luminous flux) | | | | | | | | | | | |
|---|----------|------------------|------|------|------|------|----------------|------|------|------|------|
| Reflect.: | | viewed crosswise | | | | | viewed endwise | | | | |
| ceiling | ceiling | 0.70 | 0.70 | 0.50 | 0.50 | 0.30 | 0.70 | 0.70 | 0.50 | 0.50 | 0.30 |
| walls | walls | 0.50 | 0.30 | 0.50 | 0.30 | 0.30 | 0.50 | 0.30 | 0.50 | 0.30 | 0.30 |
| work pl. | work pl. | 0.20 | 0.20 | 0.20 | 0.20 | 0.20 | 0.20 | 0.20 | 0.20 | 0.20 | 0.20 |
| Room dim | Room dim | viewed crosswise | | | | | viewed endwise | | | | |
| x | y | | | | | | | | | | |
| 2H | 2H | 17.4 | 18.0 | 17.6 | 18.2 | 18.4 | 17.4 | 18.0 | 17.6 | 18.2 | 18.4 |
| | 3H | 17.2 | 17.8 | 17.6 | 18.1 | 18.3 | 17.2 | 17.8 | 17.5 | 18.1 | 18.3 |
| | 4H | 17.2 | 17.7 | 17.5 | 18.0 | 18.3 | 17.2 | 17.7 | 17.5 | 18.0 | 18.3 |
| | 6H | 17.1 | 17.6 | 17.4 | 17.9 | 18.2 | 17.1 | 17.6 | 17.4 | 17.9 | 18.2 |
| | 8H | 17.1 | 17.5 | 17.4 | 17.8 | 18.2 | 17.1 | 17.5 | 17.4 | 17.8 | 18.2 |
| | 12H | 17.0 | 17.4 | 17.4 | 17.8 | 18.1 | 17.0 | 17.4 | 17.4 | 17.8 | 18.1 |
| 4H | 2H | 17.2 | 17.7 | 17.5 | 18.0 | 18.3 | 17.2 | 17.7 | 17.5 | 18.0 | 18.3 |
| | 3H | 17.0 | 17.5 | 17.4 | 17.8 | 18.1 | 17.0 | 17.5 | 17.4 | 17.8 | 18.1 |
| | 4H | 16.9 | 17.3 | 17.3 | 17.7 | 18.1 | 16.9 | 17.3 | 17.3 | 17.7 | 18.1 |
| | 6H | 16.9 | 17.2 | 17.3 | 17.6 | 18.0 | 16.9 | 17.2 | 17.3 | 17.6 | 18.0 |
| | 8H | 16.8 | 17.1 | 17.2 | 17.5 | 18.0 | 16.8 | 17.1 | 17.2 | 17.5 | 18.0 |
| | 12H | 16.8 | 17.0 | 17.2 | 17.5 | 17.9 | 16.8 | 17.0 | 17.2 | 17.5 | 17.9 |
| 8H | 4H | 16.8 | 17.1 | 17.2 | 17.5 | 18.0 | 16.8 | 17.1 | 17.2 | 17.5 | 18.0 |
| | 6H | 16.7 | 17.0 | 17.2 | 17.4 | 17.9 | 16.7 | 17.0 | 17.2 | 17.4 | 17.9 |
| | 8H | 16.7 | 16.9 | 17.1 | 17.3 | 17.8 | 16.7 | 16.9 | 17.1 | 17.3 | 17.8 |
| | 12H | 16.6 | 16.8 | 17.1 | 17.3 | 17.8 | 16.6 | 16.8 | 17.1 | 17.3 | 17.8 |
| 12H | 4H | 16.8 | 17.0 | 17.2 | 17.5 | 17.9 | 16.8 | 17.0 | 17.2 | 17.5 | 17.9 |
| | 6H | 16.7 | 16.9 | 17.1 | 17.3 | 17.8 | 16.7 | 16.9 | 17.1 | 17.3 | 17.8 |
| | 8H | 16.6 | 16.8 | 17.1 | 17.3 | 17.8 | 16.6 | 16.8 | 17.1 | 17.3 | 17.8 |
| Variations with the observer position at spacing: | | | | | | | | | | | |
| S = | 1.0H | 6.1 / -14.0 | | | | | 6.1 / -14.0 | | | | |
| | 1.5H | 8.9 / -15.3 | | | | | 8.9 / -15.3 | | | | |
| | 2.0H | 10.9 / -16.2 | | | | | 10.9 / -16.2 | | | | |